

II-178 開水路流れのレイノルズ応力の構造

信州大学工学部(正) 余越 正一郎
信州大学大学院(学) 大坪 国順

1. まえがき

開水路流れの乱流構造を支配する最大乱子の形状と、レイノルズ応力の特性を明らかにするための測定を行った。開水路直乱流場は、自由水面の存在のために、普通の乱流境界層と異なり、最大流速点の降下や水面にみられる“湧き上がり”的現象が顕著である。このようすを直乱流場を支配するレイノルズ応力は、最大乱子によって維持されている。最大乱子の特性をランダムではないことは、最近の visualization や conditional averaging の手法による研究からも、明らかであるが、これに関する議論では、著者らも、すぐく、△形渦管モデルを提案している。この△形渦管モデルによると、鉛直乱流場の特性がすべて説明できるこというわけではなくが、いろいろなことがうまく説明できるのは事実である。△形渦管モデルの概略を次に説明する。

底面境界層の発達により蓄積されたりたる uu' が、 y 方向の軸を持つ渦管によって解放される。この渦管は uu' の不均一のため、一部がめくれ上がって、△形渦管となり、レイノルズ応力を生成する。すなはち、鉛直乱流場は、一定のストローハル数のものと、境界層発達 — 渦管による緊張緩和のプロセスを繰り返している。

生成された△形渦管は、ビオ・サバールの法則に従い主流の影響を受けて流下方向に傾いて発達してゆく(vortex stretching)。その間、図-1 のように狭い範囲での斜め上向きの強い“噴き出し”とそれに続く、周辺へのゆるやかな“分散”をともなっている。前者がレイノルズ応力 $-uw'$ に最も寄与するところの、 $u < 0, w' > 0$ の減速流・ejection であり、後者は、 $u > 0, w' < 0$ の加速流・sweep である。循環流 ejection-sweep は、△形渦管の寿命時間が終ゆるまで機能する。渦管循環流が水面に達したものが“湧き上り”である。

2. 観測の目的と解析方法

水深くらべて、水路幅が充分大きければ流れでは、最大平均流速点は、側壁の影響を受けて、水面より幾分下にある。

この現象は上述の△形渦管で、まだ説明ができない。本文は、レイノルズ応力の構造の研究から、水面境界層をも含む最大乱子の特性を明らかにしようとする試みの一端である。スペクトル解析のように、何でもいっしょにして平均してしまうやり方は、中間乱子カスクード領域の統計的特性の研究には便利であるが、最大乱子によるレイノルズ応力の特性を調べるには不適当である。

ここでは、図-2 のように、レイノルズ応力 $-uw'$ の負担区分を考える。そのため次のようすを計算をする。 $|uw'| < H\sqrt{uw'}$ のときは、Hole へ。 $|uw'| > H\sqrt{uw'}$ のときは、 u, w' の符号の正負によって、4つの象限へ分類し

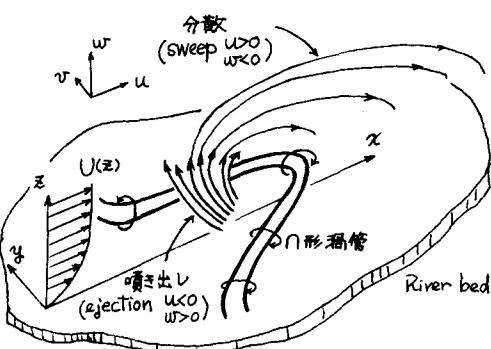


図-1. △形渦管モデルの概念図

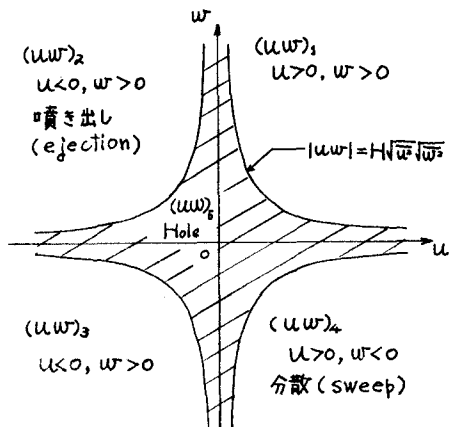


図-2. レイノルズ応力の負担区分

、計5つの象限で、おのおの $\langle \tilde{u} \tilde{w} \rangle_i = 1/N \cdot \sum_{n=1}^N \langle u w \rangle_{in}$ を計算する。ここで N は全データ数、 i は象限の番号、 n は各象限に入るデータ数。
 $\langle \tilde{u} \tilde{w} \rangle_i$ は次の関係を満たす。

$$\sum_{i=1}^5 n_i = N, \quad \sum_{i=1}^5 \langle \tilde{u} \tilde{w} \rangle_i / \langle \tilde{u} \tilde{w} \rangle = 1.$$

3. 観測方法と結果

測定は図-3に示す用水路において、 U : プロペラ、 w : 超音波流速計で行った。測器の大きさによって検出しうる最小乱子の径は、 y 、 x 方向に 10cm 、 z 方向に 10cm で制限されるが、この水路のレイノルズ応力の研究にはさしつかえない²⁾。結果の内へ部で、 $\langle \tilde{u} \tilde{w} \rangle_i / \langle \tilde{u} \tilde{w} \rangle$ を H の関数として、図-3に示す。図から推測されることは、噴き出しの現象を表わす $\langle \tilde{u} \tilde{w} \rangle_2$ が全般的に値が大きく、 H に対してすそが長い。分散現象を表わす $\langle \tilde{u} \tilde{w} \rangle_4$ は H のすそが値が大きい値を示すが、すそは短い。

これらのことは、各現象の間欠性、強さほどに関連していると思われる。壁面近くでは、 $\langle \tilde{u} \tilde{w} \rangle_4$ が $\langle \tilde{u} \tilde{w} \rangle_2$ と同程度、もしくは少し大きな値を示し、分散現象が強いことがわかる。その他、水面近くにおいて、 $\langle \tilde{u} \tilde{w} \rangle_2$ が $\langle \tilde{u} \tilde{w} \rangle_1$ より大きな値を示していながら、V形隔壁モデルでは、うまく説明できぬ。今回試みに解釈からは、得られた情報が少なくて、乱れの構造解釈には、余り適していない。今後は、もう少し時間的変化を考慮に入れて conditional sampling 手法による研究が必要であろう。

参考文献

石原・余越： 京大防災研年報、13B（昭45.3）、323。 余越： 信大工紀要、30号（昭46.7）

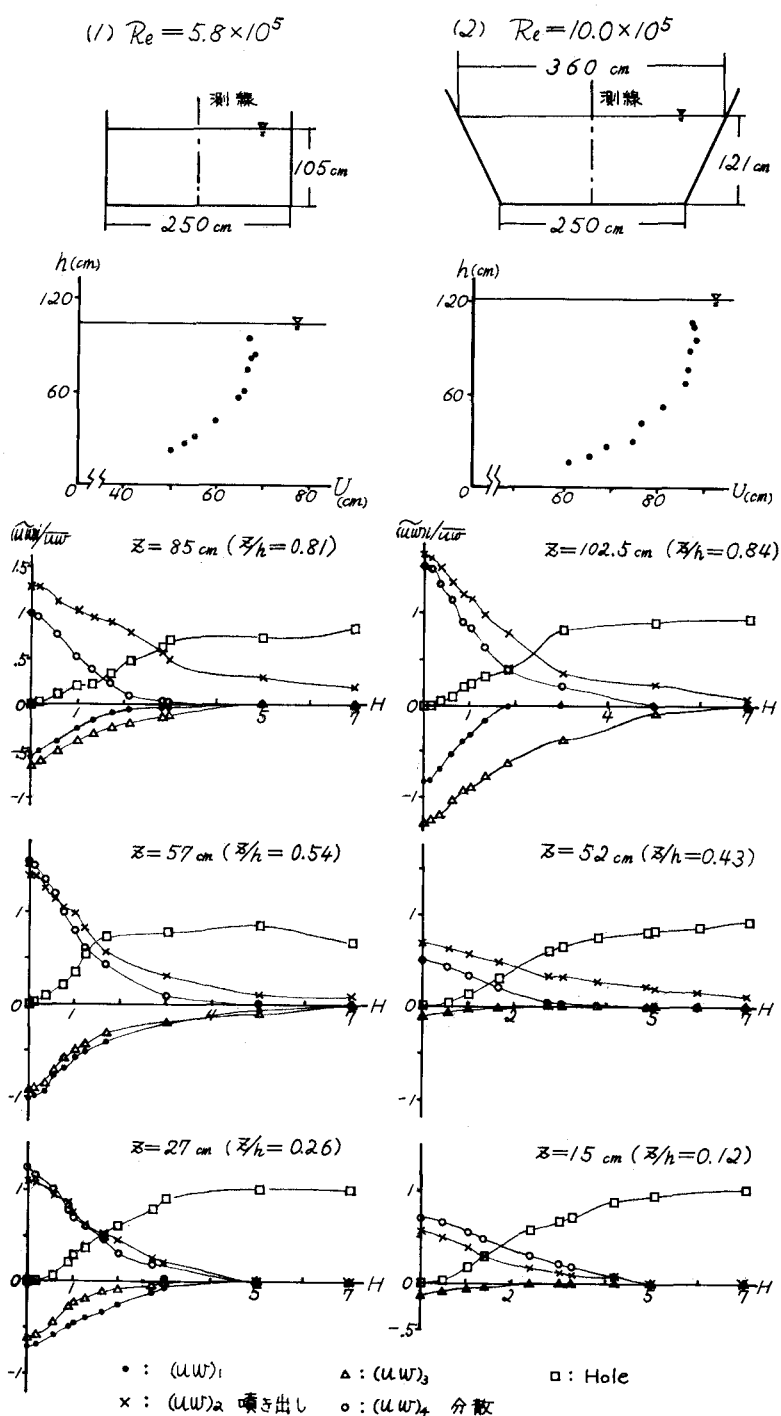


図-3 観測の結果